

## (140) クロム鉱石の溶融還元機構に基づく還元速度の定量化

(溶融還元法によるステンレス鋼溶製試験——第3報)

新日本製鐵株 八幡技術研究部 ○北村信也, 大河平和男

製鋼研究センター 松尾充高, 石川英毅

八幡製鐵所 佐藤宣雄(現:本社)

1. 緒言: 前報<sup>1,2)</sup>で述べたように、実験炉及び実炉においてクロム鉱石の溶融還元法によるステンレス鋼の溶製試験をおこなったが、これらの結果を統一的に解釈するために、溶融還元機構に基づく還元速度の定量化を試みたので報告する。

2. 解析手法: クロム鉱石の溶融還元においては、スラグ中のクロム酸化物の低下速度が0次反応を示し、この時、溶融スラグ相中のクロム濃度は、ほぼ一定であることが知られているが<sup>3)</sup>、本実験においてもこれが確認された(Fig. 1)。そこで、反応は、溶融スラグ相中のクロムの移動律速と仮定し、反応サイトとして、鋼浴界面とスラグ中炭材界面を考慮することにより、0次反応速度定数( $r_0$ )を(1)式で表わすこととした。

$$r_0 = \{ (a - b[\%Cr]) \cdot \frac{S}{WS} + C \frac{WC}{WS} \} \left( \frac{\dot{\epsilon}}{\dot{\epsilon}^0} \right)^n \frac{\exp(-Q/(RT))}{\exp(-Q/(RT^0))} \left( \frac{L}{L^0} \right)^m \quad \dots \dots (1)$$

ここで、 $r_0$ に影響を及ぼす要因として、攪拌力、温度、鋼浴クロム濃度、炭材量に加え、スケールアップ効果を考慮した。(Fig. 2)。

この式の定数を、基礎実験及び実炉実験結果により決定し、さらに連続的に原料や炭材を供給する場合に適用するため、物質収支計算と組み合わせ、成分推移の推定を可能とした。

3. 計算結果: 実炉試験における溶融還元期終了時の(Cr), [Cr]と計算結果の対応をFig. 3に、実験中の成分推移の計算例をFig. 4に示すが、比較的良い一致が見られ、本方法によりクロム鉱石の溶融還元速度は定量的に評価できることが明らかとなった。

4. 結論: クロム鉱石の溶融還元速度を表わす一般式を求めた結果、実験結果との良い対応が得られた。

## 参考文献

- 1) 平田ら; 本講演大会発表予定
- 2) 新井ら; 本講演大会発表予定
- 3) 梶岡ら; 学振 19 委-No. 10688  
(昭和 60 年 10 月)
- 4) 丸川ら; 学振 19 委-No. 10706  
(昭和 60 年 10 月)

記号:  $a = 4.78$ ,  $b = 0.097$  $c = 0.45$ ,  $n = 0.5$ ,  $m = 1$ S: 鋼浴表面積( $cm^2$ )

WC: 還元用炭材重量(g)

WS: スラグ重量(g)

 $\dot{\epsilon}$ : 系全体に対する攪拌エネルギー

Q: 活性化エネルギー

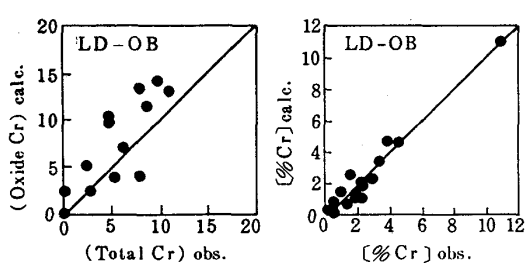
L: 精錬炉直徑, T: 温度  
(添字<sup>0</sup>は基準条件を示す)

Fig. 3 Comparison between the results of calculation and the observed values.

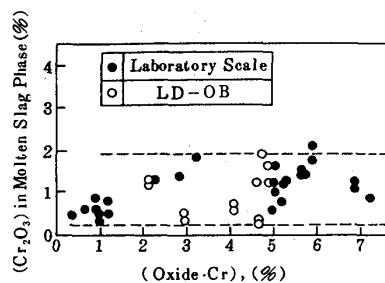


Fig. 1 Content of Cr-oxide in molten slag phase under various Oxide Cr content of total slag phase.

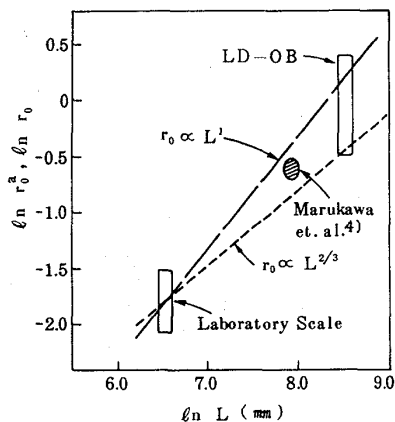
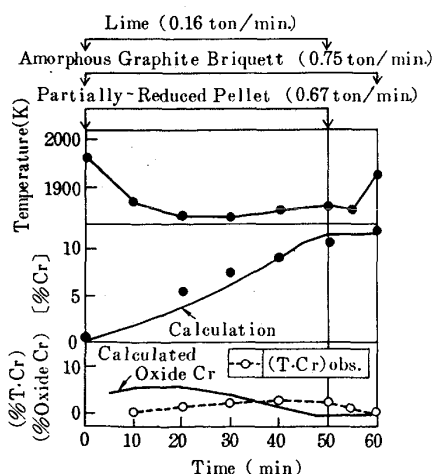
Fig. 2 The influence of furnace scale on  $r_0$ .

Fig. 4 Change of slag and metal composition and their calculation result.